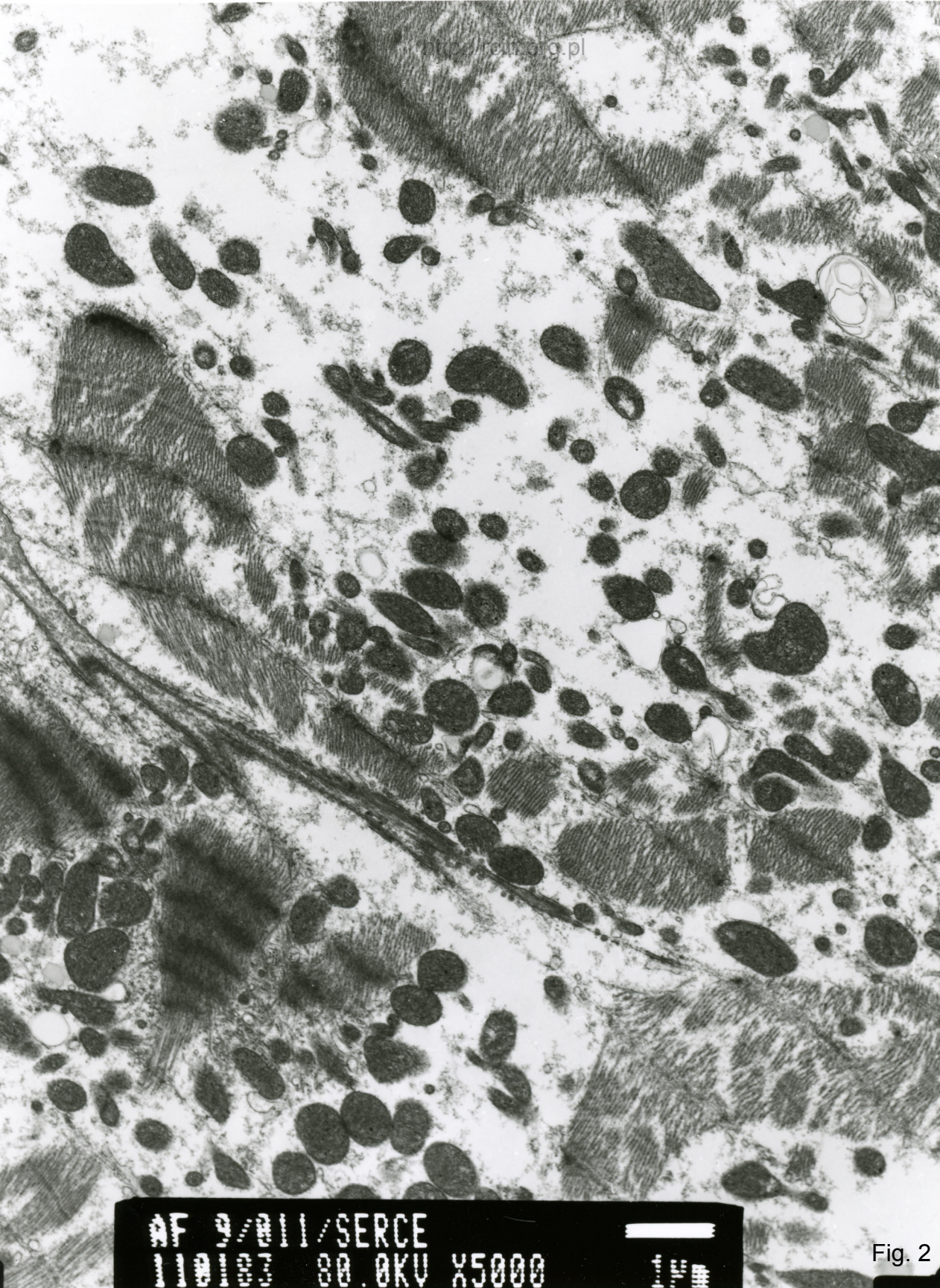


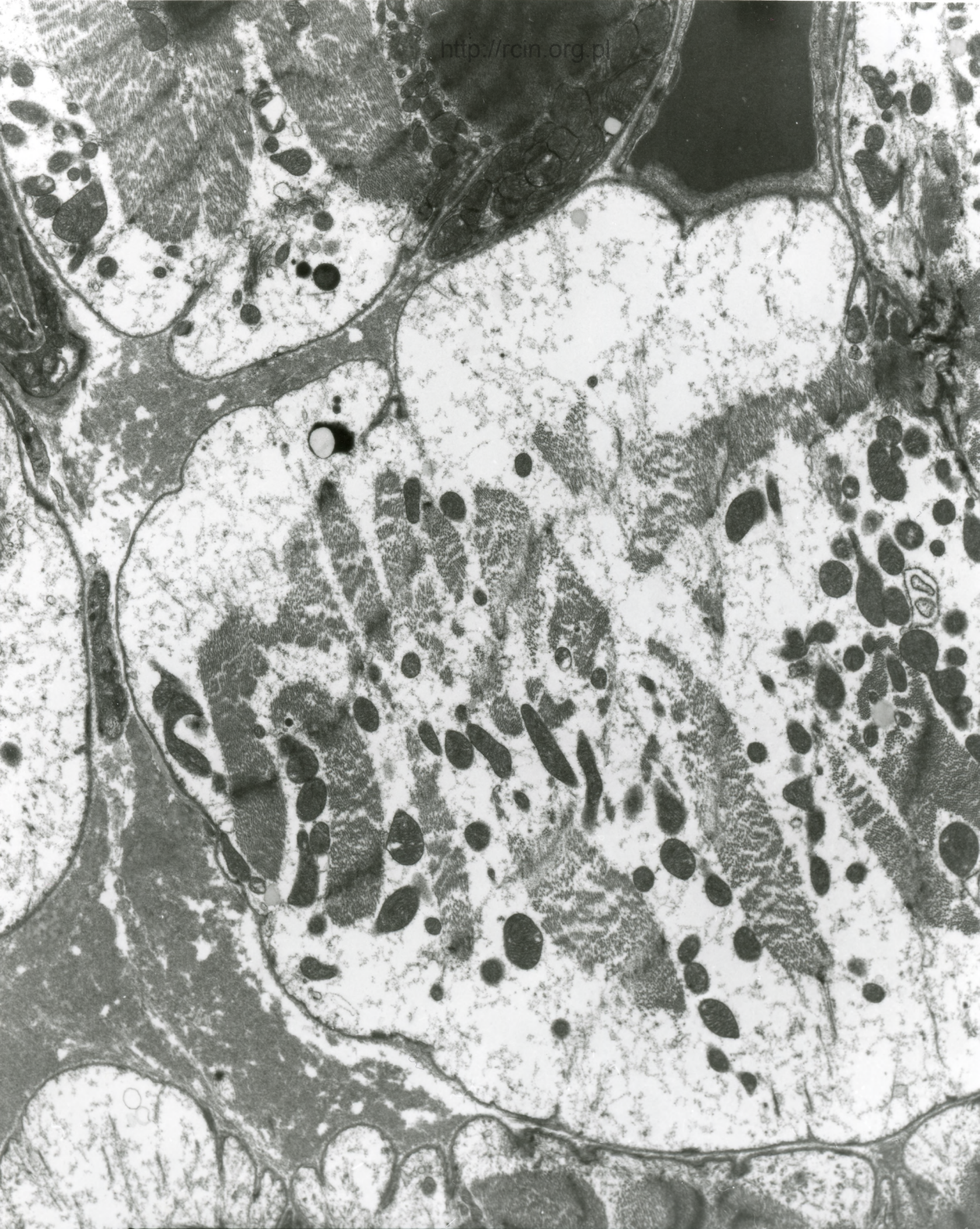
AF 2/011/SERCE
110104 80.0KV X2500 2µm

Fig. 1



AF 2/011/SERCE
110103 00.0KV X5000

Fig. 2



AF 9/011/SERCE
110182 80.0KV X3000 2µm

Fig. 3

9/11 serce

Analiza ultrastrukturalna wykazała znaczne nieprawidłowości w budowie kardiomiocytów. Obserwowano zaburzenia w przebiegu miofibrili oraz ich dezorganizację, a na dużych obszarach całkowity zanik. Budowa sarkomerów była zmieniona. Mitochondria charakteryzowały się ciemną macierzą mitochondrialną i zatartą strukturą grzebieni. Miejscami widoczne były złogi lipofuscyny. (Fig. 1-3).

Ultrastructural analysis revealed significant abnormalities in the structure of cardiomyocytes. Myofibrillar disruption and disorganization, and in big areas of the specimen, complete atrophy of myofibrils were observed. Sarcomere pattern was changed. Mitochondria were altered and characterized by dark mitochondrial matrix and blurred structure of cristae. Focally, lipofuscin deposits were visible (Figs. 1-3).